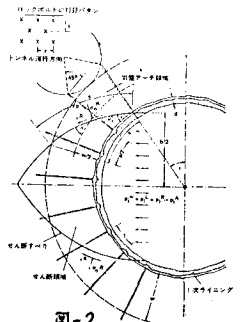
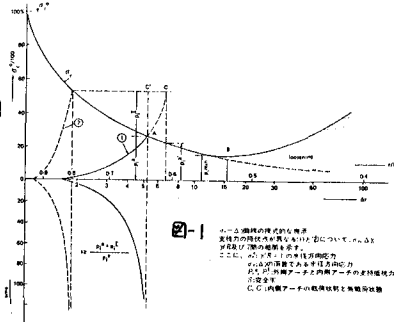


飛鳥建設(株) 正員 福島啓一
 飛鳥建設(株) 正員 松尾勝弘

1. 概要 岩盤力学の原理を生かした新しいトンネル工法として、NATMが最近、日本でも注目されており、施工例も増えてきている。この工法は実際工事の経験及び現地での計測に岩盤力学的考察を加えて成立したものであるが、現象の定量化はまだ十分はされていない。その原理や特徴についての定性的な説明と、同工法の創始者L.V. Rabcevicらによって提案された設計公式¹⁾²⁾との間には矛盾や不一致が残されている。筆者は先に鉛直土圧 P_v と水平土圧 P_h の等しい地山内の円型トンネルについて、これらの矛盾を解決できる公式を導いたが、鉛直方向一次圧が卓越する場合にも適用できるように拡張するものである。なお、これにより $P_v > P_h$ の場合でもトンネルが側圧によって壊れるという、よく知られている現象ではあるが、従来、説明のつかなかった問題を説明することができた。

2. NATMの原理 この工法は経験から得られた次のような岩盤力学上の知識をもとに考案されたものである。a)トンネルは内空断面の変形 Δa もある程度許すと支保工にかかる荷重 p は減少する。 Δa がある値 Δa_{opt} を越すと p は増えはじめ、 p の最小の点が存在する。 Δa_{opt} より僅かに少ない変形量に行なうと安全で経済的なトンネルをつくることができる。(図-1)

b)トンネルは最大土圧の方向と直角方向の地山が、トンネル内へ向って押し出され、地山及び巻立がせん断されて破壊する。(図-2)
 c)支保工(外側巻立)は地山に密着した薄肉の曲げ抵抗EIの小さい部材(木付コンクリートやアンカーボルト)とすることにより曲げモーメントでは破壊せず、せん断で破壊する。



d)アンカーボルトは地山補強にもなる。 e)その他

3. 解析上の仮定 a)鉛直土圧 P_v 、水平土圧 P_h が働く無限大の弾性地山内に半径 a の円型トンネルを掘削するものとする。 b)トンネル内では半径方向に支保工互力 p のみが働く。 c)塑性領域内では軸対称の応力分布に仮定する。 d)岩盤は降伏までは完全弾性体、降伏後は完全塑性体とし、降伏条件はMohr-Coulombの規準に従う。 e)弾性範囲については各放射線上ごとに R 一定で、弾塑性境界において内圧 $p = \sigma_r(R)$ に等しい円孔のまわりの応力分布と等しいと仮定する。 f)塑性域では半径方向の直線は変形後も直線である。

以上の仮定を設けることにより接線方向の力の釣合いや変位に多少の誤差は入るが計算の簡略化のために導入した。(従来、"弾性域の応力はトンネル周辺が一部塑性化しても全体が弾性体と仮定した場合の応力分布と変わらない"とする。もっと簡単な仮定を用いたので、塑性領域の範囲に大きな相異が生じている。また従来の方法は、側壁からの押し出しを理由につけることはできない。)

4. 解析理論 a)塑性域— σ_r, σ_θ が主応力となるゆえ、Mohr-Coulombの破壊規準の式で σ_r, σ_θ との間には

$$\sigma_\theta = \sigma_r \frac{1 + \sin \phi}{1 - \sin \phi} + \frac{2c \cos \phi}{1 - \sin \phi} \quad \text{--- ①}$$
 ; ϕ, c は内部摩擦角、粘着力とする。また、軸対称の応力釣合い方程式は、 $\sigma_r + r \frac{d\sigma_r}{dr} = \sigma_\theta$ --- ② で表わされ、①②式より塑性域内の応力は、 $\sigma_r = -c \cot \phi + (p_i + c \cot \phi) \left(\frac{r}{a}\right)^{\frac{2 \sin \phi}{1 - \sin \phi}}$ --- ③ $\sigma_\theta = \sigma_r \frac{1 + \sin \phi}{1 - \sin \phi} + \frac{2c \cos \phi}{1 - \sin \phi}$ --- ④ $\tau_{r\theta} = 0$ --- ⑤ とする。

b)弾性域— $K_a = P_v/P_h$ とし、鉛直方向一次圧が卓越する場合の弾性応力状態は、 R を弾塑性境界の半径として、

$$\sigma_r = \frac{P_c}{2}(1+K_A)(1-\frac{R^2}{r^2}) - \frac{P_c}{2}(1-K_A)(1-4\frac{R^2}{r^2} + 3\frac{R^4}{r^4})\cos 2\theta + \sigma_r^0 \frac{R^2}{r^2} \quad \text{--- ①}$$

$$\sigma_\theta = \frac{P_c}{2}(1+K_A)(1+\frac{R^2}{r^2}) + \frac{P_c}{2}(1-K_A)(1+3\frac{R^4}{r^4})\cos 2\theta - \sigma_r^0 \frac{R^2}{r^2} \quad \text{--- ②}$$

となる。

$$\tau_{r\theta} = \frac{P_c}{2}(1-K_A)(1+2\frac{R^2}{r^2} - 3\frac{R^4}{r^4})\sin 2\theta \quad \text{--- ③}$$

c) 弾塑性境界 $r=R(\theta)$ において応力は釣合っているので、①②式より、 $P_c(1+K_A) + 2P_c(1-K_A)\cos 2\theta - \sigma_r^0$
 $= \sigma_r \frac{1+\sin\phi}{1-\sin\phi} + \frac{2C\cos\phi}{1-\sin\phi}$ --- ④ また $r=R(\theta)$ における σ_r は、③式より、 $\sigma_r = -C\cot\phi + (P_c + C\cot\phi)(\frac{R}{a})^{\frac{2\sin\phi}{1-\sin\phi}}$

④式に代入し、 R を求めると、

$$R(\theta) = \left\{ \frac{2C\cot\phi - 2C\cos\phi + (1-\sin\phi)P_c(1+K_A + 2C\cos 2\theta - 2K_A\cos 2\theta)}{2(P_c + C\cot\phi)} \right\}^{\frac{1-\sin\phi}{2\sin\phi}} \times a \quad \text{--- ⑤}$$

⑤式より弾塑性半径 R を求めることができる。

d) 弾塑性境界での変形 --- 初期応力による変形を差し引き、 $U_r = \frac{1-\nu^2}{E} \left[\frac{P_c}{2}(1+K_A)R + \frac{P_c}{2}(K_A-1)3R\cos 2\theta - \sigma_r^0 R \right]$
 $+ \frac{\nu(1+\nu)}{E} \left[\frac{P_c}{2}(1+K_A) - \frac{P_c}{2}(1-K_A)R\cos 2\theta + \sigma_r^0 R \right]$ --- ⑥ $U_\theta = -\frac{1-\nu^2}{E} \left[\frac{P_c}{2}(1-K_A)3R\sin 2\theta \right]$ --- ⑦ となる。

e) 取削面の変形 --- 体積膨張率 $\epsilon_k = A_p/A$ A_p は塑性領域の変形後の体積、 A は塑性領域の変形前の体積とし、

$$A = (R^2 - a^2) \cdot R \cdot d\theta \quad \text{--- ⑧} \quad A_p = \left\{ (R+U_r)^2 - (a+aa)^2 \right\} \cdot (R+U_r) \cdot (d\theta + d^2\theta) \quad \text{--- ⑨}$$

であり、 $d^2\theta \doteq U_\theta^2 / (R+U_r)$ --- ⑩
 で表わせる。よって、 $aa = \sqrt{(R+U_r)^2 - k \cdot A / (R+U_r)(d\theta + d^2\theta)} - a$ --- ⑪ を求めらる。(d θ は考えうる扇形の内部角)

5. 計算例 $a = 360\text{cm}$, $P_c = 40\text{kg/cm}^2$, $C = 7.5\text{kg/cm}^2$, $\phi = 15^\circ$, $E = 4000\text{kg/cm}^2$ で K_A , k を変えて計算した例を次の図-3~図-5に示す。なお、 $K_A = \frac{P_c}{1-\nu}$ に対応するポアソン比を用いている。

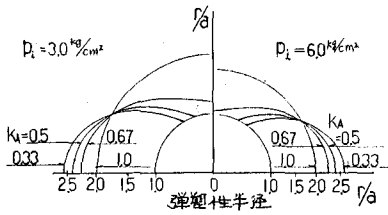


図-3 塑性域図

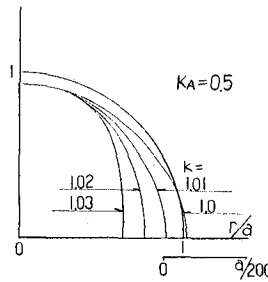


図-4 内空変形図

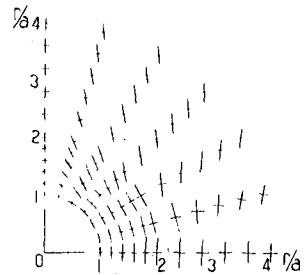


図-5 主応力図 $K_A=0.33$

6. 設計法 塑性域内はせん断破壊に対する安全率は1.0であり、主応力方向に対し、 $\alpha = \frac{\pi}{4} - \frac{\phi}{2}$ の角度もはせん断形のせん断面沿いに滑ろうとし、支保工によって支えられている。この抵抗すべき水平力 H は、

$$H = \int_0^{\pi/2} p_i \cdot a \cdot \cos\theta \cdot d\theta = 2 \cdot p_i \cdot a \cdot \sin\theta \quad \text{--- ⑫}$$

これに対し、 $\alpha = \frac{\pi}{4} - \frac{\phi}{2}$ の角度でせん断されようとし、その時の抵抗力 T_s は $T_s = \frac{2d}{\sin\alpha} C_a$ --- ⑬ となる。水平面からの角度が $90^\circ - \alpha$ 以上になると、水平力が主となり、水平にせん断され易く、せん断長さは急激に長くなる。

そのため、最も危険な断面は水平面と $90^\circ - \alpha$ となる面である。この時の水平力は $H = 2 \cdot p_i \cdot a \cdot \sin(90^\circ - \alpha_c)$ --- ⑭ である。次に、ロックボルトは一般に半径方向に打設されるので、 $p_i = \frac{R_0}{\sigma_b}$ (R_0 ; ロックボルト引抜き耐力 C と; ロックボルト打設間隔) と p_i より差し引く。また、ロックボルトの地山強化の効果はせん断面における S 字状に

変形したロックボルトの抵抗力を考慮、地山の C, ϕ の増加を考慮する。⁵⁾

$$\text{以上、まとめると、} 2 \cdot (p_i - \frac{R_0}{\sigma_b}) \cdot a \cdot \sin(90^\circ - \alpha_c) = 2 \cdot d \cdot C_a / \sin(90^\circ - \alpha_c) \quad \text{--- ⑮}$$

よって、吹付コンクリートの厚さ d は $d \geq (p_i - \frac{R_0}{\sigma_b}) \cdot a \cdot \sin^2(90^\circ - \alpha_c) / C_a$ と決定される。

参考文献 1. L.V. Rabcewicz: Stability of Tunnels Under Rock Load (Water Power 1969 June, July, August)
 2. L.V. Rabcewicz, J. Gdser: Principles of dimensioning the supporting system for the "New Austria Tunneling Method" (Water power 1973 Mar)
 3. 福島啓一: NATMによるトンネル支保工の新しい設計法(1979 工学会第4回年次学術講演会)
 4. Kästner, 金原 弘記; トンネルの力学 (森工出版) 5. G. Feder: Zur Wirkungsweise der Systemankerung von Hohlraumbauten in isotropem festem Gebirge (Berg- und Hüttenmännische Monatshefte 1970. 6)